

Algorytmy Przetwarzania Obrazów

Algorytmy rozpoznawania obrazów oparte o metody sztucznej inteligencji i testowanie działania aplikacji

WYKŁAD 6

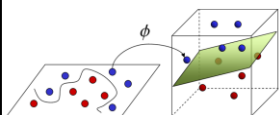
Dla studiów stacjonarnych 2022/2023

Dr hab. Anna Korzyńska, prof. IBIB PAN

Metody klasyfikacji opartej na wektorach wspierających (SVM)

Maszyna wektorów nośnych/wspierających/podpierających

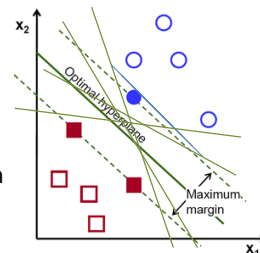
Maszyna wektorów podpierających (*ang.* Support Vector Machine – SVM) to metoda klasyfikacji, która dokonuje transformacji wielowymiarowej przestrzeni cech tak, aby skonstruować na podstawie przykładów (w naszym przypadku obrazów uczących) hiperpłaszczyznę rozdzielającą klasy (zwaną hiperpłaszczyzną decyzyjną) w nowej przestrzeni w taki sposób aby były oddzielone z maksymalnym marginesem.



<http://enroute.pl/klasyfikacja-metoda-wektorow-nosnych-supporting-vector-machines-svm/>

Prosty SVM

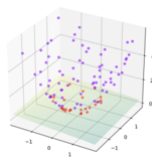
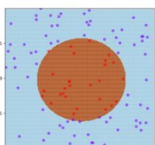
Generujemy hiperpłaszczyzny, które segregują na klasy. Następnie wybieramy właściwą hiperpłaszczyznę o maksymalnej segregacji (równoodległe od najbliższych punktu różnych klas. Z założenie hiperpłaszczyzny powinny być funkcjami liniowymi



Zaawansowany SVM

Gdy mamy do czynienia z nierozdzielnymi danymi, czyli takimi, których nie można podzielić używając funkcji liniowej w danej przestrzeni algorytm:

- Ignoruje niektóre punkty w przestrzeni cech, uznając je za nieistotnych outsiderów w grupie
- Przenosimy dane do jeszcze wyższych wymiarów (co nazywamy **kernel trick**) z użyciem transformacji opisanej przy użyciu tzw. funkcji jądrowych (**kernel functions**), takich jak: funkcja wielowymiarowa, funkcja Gaussa, hiperboliczna, itp.



https://www.youtube.com/watch?v=efR1C6CvhmE&feature=emb_rel_end
<https://tomaszkacmajor.pl/index.php/2016/04/17/support-vector-machine/>

Zalety SVM

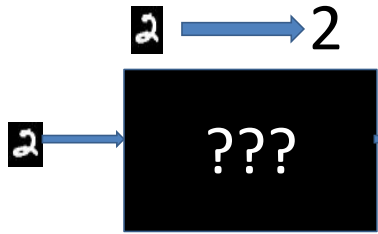
- Zaletą SVM jest wykorzystywanie do danych i problemów liniowych i nieliniowych
- Obsługuje zmienne ilościowe (ciągłe i zkategoryzowane) oraz jakościowe
- SVM generuje optymalną hiperpłaszczyznę decyzyjną w sposób powtarzalny, który jest wykorzystywany do minimalizowania błędu.
- Znajduje maksymalne odległości (marginesy) pomiędzy grupami punktów
- Efektywna obliczeniowo - złożoność rośnie tylko liniowo wraz z liczbą wymiarów

SVM wykorzystujemy nie tylko w klasyfikacji obiektów na obrazach, ale również w **uczeniu maszynowym**, w **analizie regresji** i w **klasteryzacji**.

O rozpoznawaniu z pomocą sieci neuronowych

Rozpoznawanie cyfr zapisanych ręcznie np.: na czekach - Case study

Jak z obrazu uzyskać informację o cyfrze?



- p(obiekt~0)
- p(obiekt~1)
- p(obiekt~2)
- p(obiekt~3)
- p(obiekt~4)
- p(obiekt~5)
- p(obiekt~6)
- p(obiekt~7)
- p(obiekt~8)
- p(obiekt~9)

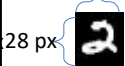
Baza obrazów MNIST

(Modified National Institute of Standards and Technology)



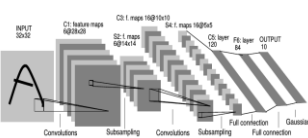
- 70 000 obrazów ręcznie pisanych cyfr
- 55 000 uczenie, 5 000 walidacja
- 10 000 testy
- 28x28 pikseli
- Wydany w 1999 roku
- 500 różnych osób
- Obraz + etykieta (jaka to cyfra)
- Skala kolorów znormalizowana do 0.0...1.0

28 px 28 x 28 = 784 pikseli



Używamy do nauki:
THE MNIST DATABASE of
handwritten digits
<http://yann.lecun.com/exd/b/mnist/>

Sieć LeNet



```
17: lenets = keras.models.Sequential()
18:
19: lenets.add(keras.layers.Conv2D(filters=4, kernel_size=(5, 5),
20:                               activation='relu', input_shape=(28, 28, 1)))
21: lenets.add(keras.layers.AveragePooling2D())
22: lenets.add(keras.layers.Conv2D(filters=16, kernel_size=(5, 5),
23:                               activation='relu'))
24: lenets.add(keras.layers.AveragePooling2D())
25: lenets.add(keras.layers.Flatten())
26:
27: lenets.add(keras.layers.Dense(units=128, activation='relu'))
28: lenets.add(keras.layers.Dense(units=64, activation='relu'))
29: lenets.add(keras.layers.Dense(units=10, activation='softmax'))
```

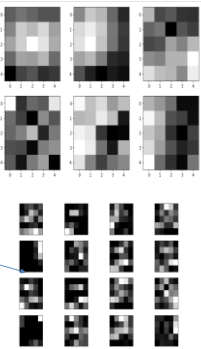
Model: "sequential_1"		
Layer (type)	Output Shape	Param #
conv2d_2 (Conv2D)	(None, 28, 28, 4)	156
average_pooling2d_3 (Average)	(None, 14, 14, 4)	0
conv2d_3 (Conv2D)	(None, 18, 18, 16)	2416
average_pooling2d_3 (Average)	(None, 5, 5, 16)	0
flatten_1 (Flatten)	(None, 400)	0
dense_3 (Dense)	(None, 128)	48128
dense_4 (Dense)	(None, 64)	2624
dense_5 (Dense)	(None, 10)	850
Total params: 61,766		
Trainable params: 61,766		
Non-trainable params: 0		

Praca zaliczeniowa na APO
studenta mgr inż. Brylewa

Ref. Y. Lecun, Gradient-Based Learning Applied to Document Recognition,
PROCEEDINGS OF THE IEEE. 86 (1998) 47.

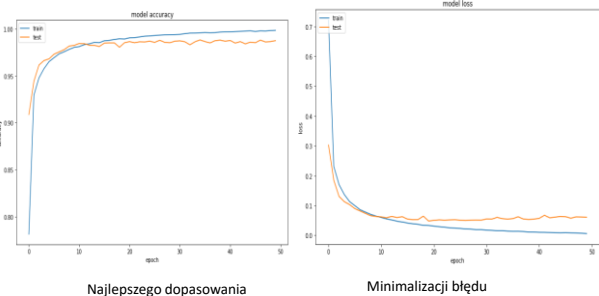
Uczenie się sieci to optymalizacja ze względu na cel

Model: "sequential_1"		
Layer (type)	Output Shape	Param #
conv2d_2 (Conv2D)	(None, 28, 28, 4)	156
average_pooling2d_3 (Average)	(None, 14, 14, 4)	0
conv2d_3 (Conv2D)	(None, 18, 18, 16)	2416
average_pooling2d_3 (Average)	(None, 5, 5, 16)	0
flatten_1 (Flatten)	(None, 400)	0
dense_3 (Dense)	(None, 128)	48128
dense_4 (Dense)	(None, 64)	2624
dense_5 (Dense)	(None, 10)	850
Total params: 61,766		
Trainable params: 61,766		
Non-trainable params: 0		



[-0.0789532 -0.02418987 0.10222547 0.00066162 -0.04760809
0.09279951 -0.01421791 -0.07095297 0.05741353 -0.01717872]

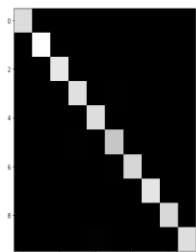
Parametry wyuczenia sieci



Najlepszego dopasowania

Minimalizacji błędu

Kontrola błędów



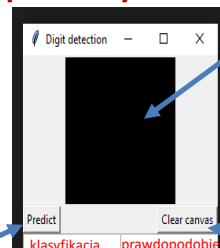
Wizualizacja macierzy pomyłek

```
[ 974  0  0  0  0  2  1  3  0]
[  0 1130  1  0  0  1  2  0  0  1]
[  4  1 1020  0  3  0  0  2  2  0]
[  1  0  2 993  0  6  0  4  2  2]
[  0  0  0  0 976  0  2  2  0  2]
[  2  0  0  7  0 875  2  2  3  1]
[  2  2  0  0  1  5 947  0  1  0]
[  0  3  4  1  1  0 0 1015  2  2]
[  1  0  1  4  3  3  1  2 955  4]
[  2  2  0  4 10  3  0  4  0 984]
```

```
result = lenet5.evaluate(y_test, y_test)
dict(zip(lenet5.metrics_names, result))
```

```
313/313 [=====] - 6s 1ms/step - loss: 0.0408 - accuracy: 0.9809
{'loss': 0.0408113712863015, 'accuracy': 0.98089971919751}
```

Moduł wykonawczy do rozpoznawania znaków narysowanych przez użytkownika

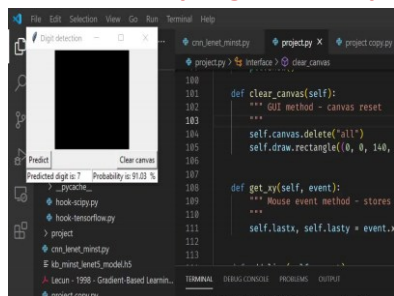


Powierzchnia na której można narysować cyfrę do rozpoznania

Czyszczenie powierzchni do rysowania

Zamiana obrazu na macierz 32x32 px, wysłanie do modelu, wyliczenia prawdopodobieństw przynależności do jednej z 10 klas i wybór prawdopodobieństwa maksymalnego

Działanie programu rozpoznającego



Moduł inferencji

- Python 3.7
- Numpy
- Matplotlib
- Tensorflow 2.4 – wymaga AVX w zestawie instrukcji CPU!!!
- CUDA 10.1
- SciKit
- Tkinter - GUI

Testowanie aplikacji

Testowanie aplikacji

to proces zapewnienia jakości oprogramowania związany z weryfikacją oraz weryfikacją oprogramowania:

- weryfikacja oprogramowania pozwala skontrolować, czy wytwarzane oprogramowanie jest **zgodne ze specyfikacją**, a
- wykonana **analiza statystyczna oceniająca działanie oprogramowania** jest jego walidacją.

- Testowanie **nie jest w stanie wykryć wszystkich defektów oprogramowania**, jednak może dostarczyć informacji o jego zgodności z wymaganiami klienta, czy też z jego oczekiwaniami.
- Testowanie nie sprawdza oprogramowania pod kątem wszelkich możliwych warunków początkowych, lecz jedynie w wyselekcjonowanych warunkach.
- Testowanie może we wczesnych fazach projektu wykryć defekty nie tylko oprogramowania, ale i specyfikacji wymagań czy projektu (niejednoznaczności lub sprzeczności wymagań uniemożliwiające określić poprawnego zachowanie systemu)
- Testowanie oprogramowania sprowadza się również do **analizy statycznej występowania** poprawnych i niepoprawnych odpowiedzi oprogramowania za pomocą twn.: [tablicy pomyłek](#)

Rodzaje testów oprogramowania

- Testy można podzielić na kilka sposobów:
- ze względu na weryfikowane obiekty (przykładowo testy klas, komponentów, podsystemów, systemu lub zintegrowanych systemów)
 - na **białoskrzynkowe (strukturalne)** - weryfikujące kod źródłowy oraz **czarnoskrzynkowe** testujące warstwę interfejsu
 - bazujące na wymaganiach:
 - testy weryfikujące zgodność implementacji z wymaganiami, np. testy funkcjonalne, testy graficznego interfejsu użytkownika),
 - testy niefunkcjonalne – np.: **FURPS(+)** zdefiniowana w ramach Rational Unified Process (RUP)
 - ze względu na metodę weryfikacji z wyróżnieniem:
 - testów statycznych, bez uruchomienia aplikacji
 - testów dynamicznych wymagającej pracę na uruchomionym oprogramowaniu
 - dodatkowo można wyróżnić testy wykonane w określonym celu:
 - retesty – testy poprawek defektów
 - testy regresyjne – testy oprogramowania po wykonaniu zmian, niekoniecznie w kodzie (przykładowo po wykonaniu aktualizacji wersji systemu operacyjnego)
- Functionality
(Funkcjonalność)

Usability

Reliability
(Niezawodność)

Performance
(Wydajność)

Supportability
(Wsparcie)

- Testy funkcjonalne.**
Polegają one na tym, że wcielamy się w rolę użytkownika, traktując oprogramowanie jak „czarną skrzynkę”, która wykonuje określone zadania. Nie wnikamy w ogóle w techniczne szczegóły działania programu. Testy są nazywane **testami czarnej skrzynki** jeśli nie wymagają patrzenia w kod
Uwaga! Częstym błędem jest stawianie znaku równości między testami funkcjonalnymi, a testami czarnej skrzynki. Testy funkcjonalne mogą wymagać umiejętności czytania kodu źródłowego, czego nie wymaga się przy testach interfejsów zewnętrznych.
- Testy strukturalne.**
Tym razem tester ma dostęp do kodu źródłowego oprogramowania, może obserwować jak zachowują się różne części aplikacji, jakie moduły i biblioteki są wykorzystywane w trakcie testu. Te testy czasami są nazywane **testami białej skrzynki**

Metryki oceny jakości oparte na tablicy pomyłek

Tablica pomyłek służy do oceny jakości klasyfikacji (ang. Confusion table/matix)

Przewidywanie/znalezienie/sklasyfikowanie

P

N

TP
True-Positive

FP
False-Positive

N

FN
False-Negative

TN
True-Negative

Obiekty faktycznie istniejące

TN

FN TP FP

Obiekty znalezione/sklasyfikowane

- True-Positive (TP – prawdziwie pozytywna):** przewidywanie pozytywne, faktycznie zaobserwowana klasa pozytywna
- True-Negative (TN – prawdziwie negatywna):** przewidywanie negatywne, faktycznie zaobserwowana klasa negatywna
- False-Positive (FP – fałszywie pozytywna):** przewidywanie pozytywne, faktycznie zaobserwowana klasa negatywna
- False-Negative (FN – fałszywie negatywna):** przewidywanie negatywne, faktycznie zaobserwowana klasa pozytywna

Tablica pomyłek

		Klasa predykowana – wynik testu		Częstość występowania, chorobowość	
		Klasyfikacja pozytywna	Klasyfikacja negatywna	$\sum \text{klas pozytywne}$ $\sum \text{populacja}$	$\sum \text{klas negatywne}$ $\sum \text{populacja}$
Klasa rzeczywista	Stan pozytywny	prawdziwie dodatnia, TP	fałszywie ujemna (błąd drugiego rodzaju, FN)	czułość, TPR $\frac{\sum TP}{\sum TP + \sum FN}$	FNR $\frac{\sum FN}{\sum TP + \sum FN}$
	Stan negatywny	fałszywie dodatnia (błąd pierwszego rodzaju, FP)	prawdziwie ujemna, TN	FPR $\frac{\sum FP}{\sum FP + \sum TN}$	specyficzność, SPN, NNR $\frac{\sum TN}{\sum FP + \sum TN}$
		dokładność, ACC $\frac{\sum TP + \sum TN}{\sum \text{populacja}}$	precyzja, PPV $\frac{\sum TP}{\sum TP + \sum FP}$	FOR $\frac{\sum FN}{\sum FN + \sum TN}$	LR+ $\frac{TPR}{FPR}$
		FOR $\frac{\sum FP}{\sum TP + \sum FP}$	NPV $\frac{\sum TN}{\sum FN + \sum TN}$	LR- $\frac{FNR}{TNR}$	DOR $\frac{LR+}{LR-}$

Podsumowując:

- Testowania umożliwia wykrycie błędów we wczesnych stadiach rozwoju oprogramowania, co pozwala zmniejszyć koszty usuwania tego błędu.
- Warto testować na każdym etapie tworzenia oprogramowania.
 - Testować należy jak najwcześniej, ponieważ im później wykryty zostanie błąd tym większy jest koszt jego usunięcia.

Przegląd tematów mini projektów

l.nr.	Tytuł projektu dla APOZ 2022/2023	nr indeksu studenta
1	Segmentacja obrazu monochromatycznego/binarnego zawierających cyfry i ich rozpoznawanie z zastosowaniem porównania ze wzorcem	18593
2	Rozwinięcie opcji zamiany modeli koloru w obrazach kolorowych i przedstawiania linii profilu dla wszystkich wybranych modeli koloru	17677
3	Implementacje funkcji linii profilu wzdłuż wskazanej myszką prostej lub krzywej w obrazach monochromatycznych i kolorowych	19132
4	Segmentacja obrazu monochromatycznego/binarnego zawierającego znaki pisma i wyszukiwanie znaków o kształtach wypukłych np.: litery w tekście: D, O, itp..	16410
5	Segmentacja obrazu monochromatycznego/binarnego zawierającego znaki pisma i wyszukiwanie znaków o kształtach wklęsłych np.: *, C, itp..	
6	Segmentacja obiektów na podstawie zakresu intensywności wskazanego na wszystkich kanałach (dającego określony zakres kolorów) oraz implementacja algorytmu zliczania wysegmentowanych obiektów z mapy binarnej z użyciem stosu.	
7	Prezentacja obrazu w postaci wykresu 3D	18605
8	Oprogramowanie algorytmu projekcji wstecznej w obrazach i wykorzystanie tego narzędzia do segmentacji	18555
9	Oprogramowanie do segmentacji obrazów monochromatycznych barwionych tkanek z użyciem algorytmu wodorodziału.	19381
10	Implementacja funkcji detekcji całej twarzy i oczu za pomocą kaskadowego klasyfikatora opartego na cechach Haara oraz implementacja rozpoznawania własnej twarzy	18673
11	Implementacja operacji erozji i dyfuzji działających na dowolnie zdefiniowanym elemencie strukturalnym/strukturyzującym	

12	Przeniesienie oprogramowania stworzonego na zajęciach przedmiotu APO tak, aby działał dla systemu operacyjnego iOS	18657
13	Implementacja operacji wyliczenia transformaty odległościowej i wykorzystanie jej do rozdzielania obiektów stykających się	
14	Segmentacja z obrazu monochromatycznego/binarnego zawierającego znaki pisma o różnych kształtach; poszukujemy wśród nich znaków o kształtach wklęsłych np.: *, C, itp..	
15	Segmentacja obrazu monochromatycznego/binarnego zawierających cyfry i ich rozpoznawanie z zastosowaniem sieci neuronowych	19010
16	Segmentacja obrazów kolorowych z wykorzystaniem klasteryzacji.	18678
17	Implementacja progowania obrazu prawdopodobieństwa przypasowania do zadanej tekstury przy użyciu wariancji jasności	19441
18	Implementacja narzędzia do tworzenia panoramy na podstawie serii zdjęć kolorowych	17801
19	Implementacja wybranych funkcjonalności w przestrzeni HSV	15719
20	Implementacja ekstrakcji linii pionowych i poziomych za pomocą operacji morfologicznych	18827
21	Segmentacja z obrazu monochromatycznego/binarnego obszarów zawierających obiekty o kształtach zawierających odcinki zbiegające po różnym kącie (rog) z wykorzystaniem morfologii matematycznej	
22	Implementacja operacji filtracji logicznych na obrazach binarnych; rozwinięcie możliwości wyświetlania i zapisywania jako obraz uzyskiwanych na podstawie fragmentów histogramu	
23	Program prezentacji zasad przebiegu procesu wprowadzania i korekcy zniekształceń radiometrycznych z wykorzystaniem obrazów	18524

24	Program prezentacji sposobu działania metody α -NN (α najbliższych sąsiadów) z wizualizacją przestrzeni cech przed i po fazie uczenia oraz w czasie klasyfikacji	
25	Implementacja operacji przenikania obrazów monochromatycznych	17669
26	Implementacja narzędzia do rozciągania i zawężania histogramu z jednoczesnym zastosowaniem funkcji logarytmicznej i odwrotnej funkcji logarytmicznej	17340
27	Implementacja operacji wyliczenia otoczek wypukłej obiektu w obrazie binarnym	
28	Implementacja operacji wyliczenia średniej i średniej kroczącej (okienkowej) z serii obrazów	18060
29	Program ukrywania i odczytu obrazu w pliku graficznym	19074
30	Implementacja operacji rekonstrukcji morfologicznej	
31	Implementacja odszumienia przez uśredniania obrazów tego samego obiektu oraz implementacja operacji różnicy A-B i B-A	18249
32	Implementacja operacji regulowanego rozciągania zakresów poziomów jasności w obrazach monochromatycznych analogicznie do rozwiązania prezentowanego na wykładzie	15296
33	Implementacja operacji tworzenia histogramu dwuwymiarowego z obrazu monochromatycznego i jego matematycznego przekształcenia oraz rekonstrukcji obrazów z histogramu	18817
34	Segmentacja obrazu monochromatycznego zawierających emotikony z różnymi emocjami	19125
35	Segmentacja obrazu monochromatycznego zawierających drobne obrazy symboliczne obserwowane przez kamerę na taśmie produkcyjnej i otoczenie ich prostokątem dopasowanym do ich rozmiarów.	17946
36	Program do konstrukcji obrazów monochromatycznych z obrazów kolorowych według wskazań użytkownika co do konwersji koloru	18755

37	Implementacja wyrównania histogramu obrazu kolorowego wykorzystując dowolnie lub wszystkie kanały kolorów w modelu $L^*a^*b^*$	17920
38	Implementacja funkcji reprezentacji obrazu monochromatycznego w postaci obrazów o zawężonym zakresie poziomów szarości wyznaczonych według wskazań użytkownika	14223
39	Przeniesienie oprogramowania stworzonego na zajęciach tak, aby działał dla systemu operacyjnego ANDROID	18715
40	Segmentacja obrazu monochromatycznego zawierających cyfry i litery (jak w polskich tablicach rejestracyjnych samochodów).	18584
41	Segmentacja obrazu monochromatycznego zawierających drobne metalowe elementy obserwowane przez kamerę na taśmie produkcyjnej i otoczenie ich prostokątem dopasowanym do ich rozmiarów.	19027
42	Program do pseudokolorowania obrazów monochromatycznych według skali barw odpowiadającej tęczy	18880
43	Implementacja funkcji wykonywania wyrównania histogramu obrazu kolorowego wykorzystując HSV lub HSI	17832
44	Implementacja funkcji reprezentacji obrazu monochromatycznego w postaci ośmiu binarnych obrazów dla każdego bitu oddzielnie	18141
45	Segmentacja obrazów z wykorzystaniem klasteryzacji kolorów	18644
46	Ręczny podział obiektów sklejonych	17990
47	Rekonstrukcja obrazu z zakłóceniami w postaci jasnych pikseli lub linii	18896
48	Implementacja progowania obrazu prawdopodobieństwa przypasowania do zadanej tekstury przy użyciu filtrów Gabor'a	
49	Implementacja progowania obrazu prawdopodobieństwa przypasowania do zadanej tekstury przy	

50	Implementacja progowania obrazu prawdopodobieństwa przypasowania do zadanej tekstury przy użyciu metody SIFT	18383
51	Implementacja funkcji detekcji całej twarzy i oczu lemurów za pomocą kaskadowego klasyfikatora opartego na cechach Haara	19076
52	Segmentacja z obrazu monochromatycznego obszarów zawierających obiekty o kształtach zawierających linie zbiegające pod różnym kątem (rog) z wykorzystaniem metody Harris-Stephens'a.	18873
53	Segmentacja obrazu monochromatycznego przedstawiającego klocki lego obserwowane przez kamerę na taśmie produkcyjnej i otoczenie ich prostokątem dopasowanym do ich rozmiarów	17237
54	Segmentacja obrazu kolorowego przedstawiającego ziarna kawy, fasoli i soczewicy obserwowane przez kamerę na taśmie produkcyjnej i klasyfikacje ziaren ze względu na kształt i kolor	18546
55	Segmentacja obrazu kolorowego przedstawiającego klocki lego obserwowane przez kamerę na taśmie produkcyjnej i klasyfikacje klocków ze względu na kolor	18371
56	Implementacja funkcji linii profilu wzdłuż krzywej i łamanej zbudowanej na wskazanych przez użytkownika punktach.	18824
57	Program do wykonywania procesu wprowadzania i korekcy zniekształceń radiometrycznych z wykorzystaniem ciemnego i jasnego obrazu odniesienia	
58	Oprogramowanie do segmentacji obrazów monochromatycznych komórek w hodowli z użyciem algorytmu wodorodziału.	
59	Implementacja funkcji linii profilu wzdłuż okręgów i elips o zadanych parametrach i wskazanej lokalizacji środka figur.	
60	Przeniesienie oprogramowania stworzonego na zajęciach tak, aby działał dla systemu	18709

61	Przeniesienie oprogramowania stworzonego na zajęciach tak, aby działał dla systemu operacyjnego iOS	18773
62	Implementacja narzędzia do tworzenia panoramy na podstawie serii zdjęć monochromatycznych	18868
63	Oprogramowanie do wyszukiwania obiektów analogicznych do obiektów wskazanych na próbkach (małych zdjęciach przedstawiających poszukiwany obiekt)	19092
64	Wyszukiwanie i lokalizacja emotikonów umieszczonych w tekście.	17804
65	Program do pseudokolorowania obrazów monochromatycznych według zestawu barw występujących w mapach geograficznych	14407
66	Udoskonalenie oprogramowania przygotowanego na zajęciach przez dołożenie operacji zmniejszenia udziału szumu przez uśrednianie obrazów zebranych w takich samych warunkach oraz implementację progowania odwrotnego do wszystkich trzech progowań implementowanych na zajęciach	
67	Udoskonalenie oprogramowania przygotowanego na zajęciach przez implementację operacji przenikania obrazów monochromatycznych według skali podanej w procentach	17694
68	Implementacja operacji unsharpen mask	16745
69	Implementacja operacji tworzenia histogramu dwuwymiarowego z obrazu kolorowanego bazującego na kanałach oraz rekonstrukcji obrazów z histogramu	17203
70	Implementacja narzędzia do manipulacji widmem amplitudowym obrazu w celu modyfikacji udziału poszczególnych składowych widma	
71	Implementacja narzędzia do manipulacji widmem amplitudowym obrazu w celu likwidacji zakłóceń periodycznych	18608

72	Implementacja narzędzia do manipulacji widmem amplitudowym obrazu typu portret w celu tworzenia „uśmiechu Mony Lisy”	
73	Implementacja narzędzia do manipulacji widmem amplitudowym obrazu w celu wydzielenia wybranego zakresu częstotliwości	17916
74	Segmentacja obrazu kolorowego przedstawiającego klocki lego obserwowane przez kamerę na taśmie produkcyjnej i klasyfikacje klocków ze względu na kolor	18583
75	Segmentacja obrazu monochromatycznego przedstawiającego ziarna kawy, fasoli i soczewicy obserwowane przez kamerę na taśmie produkcyjnej i klasyfikacje klocków ze względu na poziom jasności	
76	Segmentacja obrazu monochromatycznego przedstawiającego różnej wielkości śruby obserwowane klocków ze względu na poziom jasności przez kamerę na taśmie produkcyjnej i ich klasyfikacja ze względu na rozmiar	
77	Segmentacja obrazu kolorowego przedstawiającego drewniane klocki obserwowane przez kamerę na taśmie produkcyjnej i ich klasyfikacje klocków ze względu na rozmiar	18693
78	Segmentacja obrazu monochromatycznego przedstawiającego ziarna kawy, fasoli i soczewicy obserwowane przez kamerę na taśmie produkcyjnej i ich klasyfikacje klocków ze względu na kształt	18647
Wybrano 67 z 78 tematów		

Zaliczenie przedmiotu

- Laboratorium zalicza 26-50 punktów zdobytych na zajęciach na podstawie ocenionej przez prowadzącego aplikacji pozostawionej na dysku P w odpowiednim katalogu
- Do egzaminu mogą przystąpić Ci studenci którzy mają minimum 26 i którzy przedstawili działające oprogramowanie projektu egzaminacyjnego

Egzamin

Obrona przygotowanego samodzielnie projektu następuje po jego przykazaniu:

- Projekt należy przed egzaminem (data zostanie ogłoszona) **włożyć do** tego samego **katalogu**, w którym jest aplikacja rozwijana na zajęciach (**na dysku P**) w formie wykonywalnej wraz z kodem. W niektórych przypadkach będzie to ten sam projekt z rozwiniętymi lub dodanymi funkcjonalnościami.
- Oprócz projektu egzaminacyjnego, proszę wgrać: **instrukcję dla użytkownika** oraz **7-10 minutowy film** z wykładem prezentującym projekt. Film będzie oceniany według kryteriów:

Co będzie oceniane

- Zrozumienia stosowalności i założeń projektu
- Kompletność prezentacji – podstawy, metody i funkcjonalności
- Sposób prezentacji
- Organizacja prezentacji

Kod będzie sprawdzany pod kątem

- Struktury oprogramowania
- Poziomu komentowania kodu
- Opisu zmiennych, parametrów globalnych i lokalnych
- Interface graficzny - funkcjonalność
- Interface graficzny - walory graficzne
- Oceny zgodności rezultatów z założeniami

Ocena dokumentacji

- Organizacja dokumentacji
- Kompletność dokumentacji
- Szata graficzna
- Dobór obrazów demonstracyjnych
- Dobór zrzutów z ekranów
- Spis treści i wyszukiwanie informacji

Za całość będzie można dostać 50 punktów

Zaliczenie przedmiotu to suma punktów za laboratoria i z egzaminu przeliczona na stopnie

Materiał:

- M.Doros, Przetwarzanie obrazów, skrypt WSISIZ
- Materiały wykładowe POBZ z zeszłego roku na UBIKu
- T.Pavlidis, Grafika i Przetwarzanie Obrazów, WNT Warszawa 1987.
- **I.Pitas**, Digital image processing, algorithms and applications, John Wiley & Sons, Inc. 2000, pp. **162-166** (w katalogu ... \APOZ\Materialy na UBIKu).

Literatura dodatkowa:

- W.Zieliński, M.Strzelecki: Komputerowa analiza obrazu biomedycznego, PWN Warszawa-Łódź 2002, str. 178-214; segmentacja z wykorzystaniem analizy tekstur, mozaika Voronoi (Voronoi tessellation), segmentacja metodą określenia działów wodnych (watershed transform)
- T.Pavlidis: Grafika i Przetwarzanie Obrazów, WNT Warszawa 1987
- R.Tadeusiewicz, P.Korohoda, Komputerowa analiza i przetwarzanie obrazów, Wydawnictwo Fundacji Postępu Telekomunikacji, Kraków 1997.
<http://winntbg.bg.agh.edu.pl/skrypty2/0098/>
- Zasoby sieciowe:
- Segmentacja (w szczególności wododziałowa (watershed))
<https://www.mathworks.com/company/newsletters/articles/the-watershed-transform-strategies-for-image-segmentation.html>
- Definicja tekstury:
http://ai.stanford.edu/~ruzon/tex_seg/node1.html